



سنگ‌شناسی سنگ‌های آتشفسانی ائوسن جنوب غرب چوبانان (شمال شرق استان اصفهان) و ماهیت انتقالی آن‌ها

زهرا گلی^{*}، قدرت ترابی

گروه زمین‌شناسی، دانشکده علوم، دانشگاه اصفهان، اصفهان

(دریافت مقاله: ۹۱/۱۰/۲۳، نسخه نهایی: ۹۲/۳/۱۲)

چکیده: سنگ‌های آتشفسانی ائوسن به صورت گدازه با ترکیب داسیت، آندزیت و سنگ‌های پیروکلاستیک در جنوب غرب چوبانان و در راستای گسل چوبانان رخنمون دارند. این منطقه در زون ساختاری ایران مرکزی (بلوک یزد) واقع شده است. آندزیت‌ها سنگ غالب این منطقه بوده و کانی‌های تشکیل دهنده آن‌ها عبارتند از فلدسپار (آندزین، الیگوکلاز و سانیدین)، آمفیبول (هاستینگسیت منیزیم دار، مگنزیوہاستینگسیت، فروبارگازیت)، میکا (بیوتیت، فلوگوپیت)، کلینوپیروکسن (دیوپسید، اوژیت)، کوارتز، مگنتیت، تیتانومگنتیت، ایلمنیت، زیرکن و آپاتیت. کانی‌های ثانویه و حاصل دگرسانی نیز عبارتند از کلسیت، کلریت (دیابانتیت) و پرهنیت. مقدار SiO_2 در این سنگ‌ها ۵۵/۱ تا ۶۲/۱ درصد بوده و از نظر عناصر نادر خاکی سبک (LREE) (بسیار غنی) هستند. سنگ‌های آتشفسانی ائوسن جنوب غربی چوبانان دارای ماهیت انتقالی (آهکی-قلیایی متمایل به شوشونیتی) بوده و شبیه سنگ‌های موجود در کمان‌های آتشفسانی هستند. بررسی‌های صحرایی، سنگ‌نگاری و ژئوشیمیایی نشان از تشکیل این سنگ‌ها طی فرایندهای سنگ‌زایی بکسان بوده و در روند شکل‌گیری آن‌ها آلایش و اختلاط ماقمایی نقش داشته‌اند.

واژه‌های کلیدی: سنگ‌های آتشفسانی ائوسن؛ ماهیت انتقالی؛ آندزیت؛ چوبانان؛ ایران مرکزی.

روش بررسی

به منظور دسترسی به هدف‌های این پژوهش، پس از بررسی صحرایی و نمونه‌برداری از واحدهای مختلف سنگ‌شناسی، ۳۹ مقطع نازک تهیه شدند و بررسی‌های سنگ‌نگاری صورت گرفت. در مرحله‌ی بعد با استفاده از ریز پردازنده‌ی Jeol JXA-8800 در دانشگاه کانازارا، کانی‌های مختلف در ۴ مقطع نازک صیقلی در شرایط ولتاژ شتاب‌دهنده ۱۵KV، شدت جریان ۱۵nA و زمان شمارش ۴۰ ثانیه مورد آنالیز نقطه‌ای قرار گرفتند. برای بررسی‌های ژئوشیمیایی، ۱۱ نمونه از سنگ‌های آتشفسانی جنوب غرب چوبانان با کمترین میزان دگرسانی و بیشترین تنوع ترکیبی در ACM Lab کانادا به روش

مقدمه

فعالیت آتشفسانی ائوسن یکی از مهم‌ترین پدیده‌های زمین-شناسی ایران در سنوزوئیک است که آثار آن در بیشتر نقاط ایران به جز زاگرس و کوه داغ دیده می‌شوند. محصول این فعالیت ایجاد سنگ‌های آتشفسانی و آذرآواری فراوان در بخش‌های مرکزی ایران از جمله جنوب‌غرب چوبانان است. بخش مهمی از سنگ‌های آهکی-قلیایی و شوشونیتی این مناطق نیز مربوط به این زمان است [۱].

فعالیت‌های آتشفسانی ائوسن در بلوک شرق-ایران مرکزی و نبود داده‌های زمین‌شناسی و سنگ‌شناختی در مورد سنگ‌های جنوب غرب چوبانان دلیل بررسی این سنگ‌ها از دیدگاه سنگ‌شناسی و ژئوشیمیایی است.

* نویسنده مسئول، تلفن: ۰۹۱۳۹۱۲۲۱۷۹، نامبر: ۷۹۳۲۱۵۲ (۰۳۱۳)، پست الکترونیکی: Zahragoli67@gmail.com

ژئوشیمیایی کانی‌ها و سنگ‌ها در جدول‌های ۱ تا ۴ آورده شده‌اند.

ICP-MS مورد تجزیه‌ی شیمیایی قرار گرفتند. رسم نمودارها با به کارگیری نرم افزارهای 2.02، Newpet، MinPet، PR20 و Presentation10 انجام شد. نتایج آنالیزهای

جدول ۱ موقعیت سنگ‌های آتشفشاری اوسن جنوب غرب چوبانان (شمال شرق استان اصفهان).

Sample	X	Y
G2	N 33° 27' 25``	E 53° 57' 54``
G6	N 33° 27' 22``	E 53° 57' 52``
G7-2	N 33° 27' 97``	E 53° 57' 92``
G11	N 33° 27' 81``	E 53° 59' 08``
G12-2	N 33° 27' 79``	E 53° 59' 14``
G13	N 33° 27' 78``	E 53° 59' 16``
G15-1	N 33° 30' 68``	E 54° 05' 70``
G20-3	N 33° 30' 64``	E 54° 05' 74``
G21-3	N 33° 30' 31``	E 54° 04' 46``
G23	N 33° 30' 40``	E 54° 04' 48``

جدول ۲ نتایج آنالیز ریز پردازشی برخی کانی‌های موجود در سنگ‌های آتشفشاری جنوب غرب چوبانان و محاسبه‌ی فرمول ساختاری آن‌ها (اکسیدها بر حسب درصد)

Sample	B312	Sample	B300	Sample	B303	B300	sample	B303	Sample	B303
Analysis	۹۲	Analysis	۶۵	Analysis	۷	۵۳	Analyze	۲۷	Analyze	۲۱
SiO ₂	۳۳,۱۳۴	SiO ₂	۶۵,۳۷۵	SiO ₂	۵۷,۴۴۲	۶۱,۸۱۶	SiO ₂	۰,۰۰۰	SiO ₂	۳۲,۷۸۴
TiO ₂	۰,۰۲۴	TiO ₂	۰,۰۳۵	TiO ₂	۰,۰۰۰	۰,۰۰۰	TiO ₂	۰,۰۴۳	TiO ₂	۰,۰۰۸
Al ₂ O ₃	۱۴,۷۲۵	Al ₂ O ₃	۱۸,۳۷۴	Al ₂ O ₃	۲۶,۳۴۱	۲۲,۸۶۶	Al ₂ O ₃	۰,۰۲۲	Al ₂ O ₃	۰,۰۰۰
Cr ₂ O ₃	۰,۰۷۱	FeO*	۰,۲۵۷	FeO*	۰,۳۱۴	۰,۱۰۲	FeO*	۰,۹۴۳	FeO*	۰,۰۵۵
FeO*	۱۸,۶۳۱	MnO	۰,۰۱۷	MnO	۰,۰۰۰	۰,۰۰۷	MnO	۱,۳۱۷	MnO	۰,۰۰۰
MnO	۰,۱۵۹	MgO	۰,۰۰۱	MgO	۰,۰۰۰	۰,۰۰۰	MgO	۱,۱۷۸	MgO	۰,۰۰۰
MgO	۲۱,۰۶۴	CaO	۰,۵۲۸	CaO	۸,۶۰۲	۵,۷۱۲	CaO	۵۵,۰۰۶	CaO	۰,۰۱۳
CaO	۰,۳۹۹	Na ₂ O	۳,۳۰۷	Na ₂ O	۶,۳۰۷	۷,۸۰۴	Na ₂ O	۰,۰۰۷	Na ₂ O	۰,۰۰۰
Na ₂ O	۰,۰۲۴	K ₂ O	۱۱,۱۴۱	K ₂ O	۰,۵۶۳	۰,۸۵۱	K ₂ O	۰,۰۲۱	K ₂ O	۰,۰۰۶
K ₂ O	۰,۰۱۰	Total	۹۹,۰۴۰	Total	۹۹,۵۷۰	۱۰۰,۱۶۰	Total	۵۸,۵۳۷	Total	۳۲,۸۶۶
Total	۸۸,۳۴۰	Oxygens	۸	Oxygens	۸	۸	Oxygens	۳	Oxygens	۴
Oxygens	۲۸	Si	۲,۹۹۹	Si	۲,۵۹۰	۲,۷۴۵	Si	۰,۰۰۰	Si	۰,۹۹۸
Si	۶,۶۲۳	Ti	۰,۰۰۱	Ti	۰,۰۰۰	۰,۰۰۰	Ti	۰,۰۰۱	Ti	۰,۰۰۰
Ti	۰,۰۰۴	Al	۰,۹۹۳	Al	۱,۳۹۹	۱,۲۴۸	Al	۰,۰۰۰	Al	۰,۰۰۰
AlIV	۱,۳۷۷	Fe ²⁺	۰,۰۱۰	Fe ²⁺	۰,۰۱۲	۰,۰۰۴	Fe ³⁺	۰,۰۰۰	Fe ³⁺	۰,۰۰۰
AlVI	۲,۰۸۹	Mn	۰,۰۰۱	Mn	۰,۰۰۰	۰,۰۰۰	Fe ²⁺	۰,۰۱۳	Fe ²⁺	۰,۰۰۱
Cr	۰,۰۱۱	Mg	۰,۰۰۰	Mg	۰,۰۰۰	۰,۰۰۰	Mn	۰,۰۱۸	Mn	۰,۰۰۰
Fe ²⁺	۲,۱۱۴	Ca	۰,۰۲۶	Ca	۰,۴۱۶	۰,۲۷۲	Mg	۰,۰۲۸	Mg	۰,۰۰۰
Fe ³⁺	۰,۰۰۰	Na	۰,۲۹۴	Na	۰,۵۵۱	۰,۸۷۲	Ca	۰,۹۴۰	Ca	۰,۰۰۰
Mn	۰,۰۴۴	K	۰,۶۵۲	K	۰,۰۳۲	۰,۰۴۸	Na	۰,۰۰۰	Na	۰,۰۰۰
Mg	۶,۷۷۷	Na+K	۰,۹۴۶	Cations	۵,۰۰۰	۴,۹۸۹	K	۰,۰۰۰	K	۰,۰۰۰
Ca	۰,۰۸۵	K/Na+K	۰,۶۸۹	Ab	۵۵,۲۰۰	۶۷,۷۰۰	Sum	۱,۰۰۰	Sum	۰,۹۹۹
Na	۰,۰۰۹	Cations	۴,۹۷۴	An	۴۱,۶۰۰	۲۷,۴۰۰	Type	Calcite	Type	Zircon
K	۰,۰۰۳	Ab	۲۰,۲۰۰	Or	۳,۲۰۰	۴,۸۰۰				
Cations	۱۹,۶۴۹	An	۲,۷۰۰	Type	Andesine	Oligoclase				
Fe_FeMg	۰,۳۲۰	Or	۶۷,۱۰۰							
Mg_FeMg	۰,۶۷۰	Type	Sanidine							
Type	Diabantite									

جدول ۳ نتایج آنالیز ریز پردازشی برخی کانی‌های موجود در سنگ‌های آتشفشارانی جنوب غرب چوبانان و محاسبه‌ی فرمول ساختاری آن‌ها
(اکسیدها بر حسب درصد)

Sample	B300	B303	Samples	B303	B303	Sample	B300	B300	B303	B303
Analysis	۶۸	۴۹	Analysis	۷۲	۸۸	Analysis	۵۲	۶۴	۳۱	۴۱
SiO ₂	۵۳,۶۷۷	۵۴,۳۱۰	SiO ₂	۴۰,۷۲۳	۳۸,۸۲۰	SiO ₂	۴۱,۸۴۱	۴۳,۶۶۲	۳۹,۰۳۹	۴۱,۸۴۵
TiO ₂	۰,۲۱۱	۰,۱۷۱	TiO ₂	۰,۸۱۰	۳,۹۷۹	TiO ₂	۱,۶۹۳	۱,۸۷۴	۱,۹۸۸	۱,۸۶۹
Al ₂ O ₃	۱,۷۳۲	۱,۷۵۳	Al ₂ O ₃	۱۴,۱۷۸	۱۵,۲۶۶	Al ₂ O ₃	۱۲,۹۱۳	۱۰,۸۸۲	۱۵,۰۳۶	۱۳,۲۳۰
Cr ₂ O ₃	۰,۰۰۰	۰,۱۷۲	Cr ₂ O ₃	۰,۴۷۴	۰,۰۰۰	Cr ₂ O ₃	۰,۰۴۹	۰,۰۰۹	۰,۰۰۰	۰,۰۰۰
FeO*	۶,۶۱۱	۴,۵۲۴	FeO*	۰,۰۳۵	۱۸,۷۷۴	xFeO	۱۳,۵۹۰	۱۲,۷۲۱	۱۹,۳۰۴	۱۳,۰۷۶
MnO	۰,۲۲۳	۰,۱۱۰	MnO	۰,۰۳۷	۰,۰۳۶	MnO	۰,۲۴۴	۰,۱۷۲	۰,۲۹۳	۰,۱۹۷
MgO	۱۶,۴۵۸	۱۶,۵۸۶	MgO	۲۳,۹۴۹	۱۲,۳۹۰	MgO	۱۲,۳۳۴	۱۴,۴۱۶	۸,۱۰۱	۱۲,۹۵۸
CaO	۲۱,۳۴۳	۲۲,۶۳۲	CaO	۰,۰۱۷	۰,۰۱۹	CaO	۱۱,۵۷۹	۱۱,۲۰۳	۱۱,۴۸۵	۱۱,۳۵۸
Na ₂ O	۰,۴۴۹	۰,۵۵۶	Na ₂ O	۰,۲۵۸	۰,۴۳۰	Na ₂ O	۲,۲۹۱	۲,۸۱۵	۲,۰۶۸	۲,۲۹۰
K ₂ O	۰,۰۰۵	۰,۰۰۰	K ₂ O	۹,۴۸۷	۹,۰۹۸	K ₂ O	۱,۶۹۵	۱,۲۲۴	۲,۰۸۲	۱,۶۰۳
NiO	۰,۰۰۰	۰,۰۲۰	Total	۹۴,۹۶۸	۹۷,۰۸۲	Total	۹۸,۱۸۰	۹۸,۶۸۰	۹۹,۴۰۰	۹۸,۲۲۰
Total	۱۰۰,۷۱۰	۱۰۰,۸۳۰	Oxygens	۲۲	۲۲	Oxygens	۲۳	۲۳	۲۳	۲۳
Oxygens	۶	۶	Si	۵,۷۹۷	۵,۵۰۰	Si	۶,۱۵۹	۶,۲۹۵	۵,۸۵۳	۶,۱۰۵
Si	۱,۹۵۴	۱,۹۶۴	Ti	۰,۰۸۷	۰,۴۴۷	Ti	۰,۱۸۷	۰,۲۰۳	۰,۲۲۴	۰,۱۸۳
Ti	۰,۰۰۶	۰,۰۰۵	^{IV} Al	۲,۲۰۳	۲,۵۰۰	ALIV	۱,۸۴۱	۱,۷۰۵	۲,۱۴۷	۱,۸۹۵
ALIV	۰,۰۴۶	۰,۰۳۶	^{VII} Al	۰,۱۷۵	۰,۱۸۷	ALVI	۰,۳۹۷	۰,۱۴۳	۰,۵۰۸	۰,۳۷۹
ALVI	۰,۰۲۸	۰,۰۳۹	Cr	۰,۰۵۳	۰,۰۰۰	Cr	۰,۰۰۶	۰,۰۰۱	۰,۰۰۰	۰,۰۰۰
Cr	۰,۰۰۰	۰,۰۵۰	Fe ²⁺	۰,۰۹۹	۲,۳۴۵	Fe ²	۱,۲۳۴	۰,۷۷۱	۱,۹۱۸	۰,۹۴۴
Fe ³⁺	۰,۰۳۸	۰,۰۲۱	Mn	۰,۰۰۴	۰,۰۳۹	Fe ³	۰,۴۳۹	۰,۷۶۳	۰,۵۰۲	۰,۶۵۲
Fe ²⁺	۰,۱۶۴	۰,۱۱۶	Mg	۵,۰۸۲	۲,۷۵۹	Mn	۰,۰۳۰	۰,۰۲۱	۰,۰۳۷	۰,۰۲۴
Mn	۰,۰۰۷	۰,۰۰۳	Ca	۰,۰۰۳	۰,۰۰۳	Mg	۲,۷۰۶	۲,۰۹۸	۱,۸۱۱	۲,۸۱۸
Mg	۰,۸۹۳	۰,۸۹۴	Na	۰,۰۷۱	۰,۱۲۵	Ca	۱,۸۲۶	۱,۷۳۱	۱,۸۴۵	۱,۷۷۶
Ca	۰,۸۳۳	۰,۸۷۷	K	۱,۷۲۳	۱,۷۳۴	Na	۰,۶۵۴	۰,۷۰۳	۰,۶۰۱	۰,۶۴۷
Na	۰,۰۳۲	۰,۰۳۹	OH ⁻	۴,۰۰۰	۴,۰۰۰	K	۰,۳۱۸	۰,۲۲۷	۰,۳۹۸	۰,۲۹۸
Ni	۰,۰۰۰	۰,۰۰۱	#Mg	۰,۰۹۵	۰,۰۴۱	Sum	۱۵,۷۹۸	۱۵,۶۶۱	۱۵,۴۴۴	۱۵,۷۲۲
Sum	۴,۰۰۰	۴,۰۰۰	X(Mg)	۰,۰۴۷	۰,۰۷۸	#Mg	۰,۰۳۵	۰,۰۰۱	۰,۰۸۶	۰,۰۷۴۹
WO	۴۳,۰۴۸	۴۵,۸۸۱	X(Sid)	۰,۰۳۲	۰,۲۳۹	Type	Magnesian Has	Mg has Hbl	Ferroan paragasicite	Magnesio- Has
EN	۴۶,۱۸۸	۴۶,۷۸۴	X(Ann)	۰,۱۲۱	۰,۲۸۴					
FS	۱۰,۷۶۴	۷,۳۳۵	Type	Phlogopite	Biotite					
WEF	۹۶,۷۶۵	۹۶,۰۳۹								
JD	۱,۳۹۳	۲,۵۸۲								
AE	۱,۸۴۲	۱,۳۷۹								
Mg#	۰,۸۴۴	۰,۸۸۵								
Type	Augite	Diopside								

جدول ۴ نتایج آنالیز شیمیابی سنگ‌های آتشفشنائی ائوسن جنوب غرب چوپانان (شمال شرق استان اصفهان).

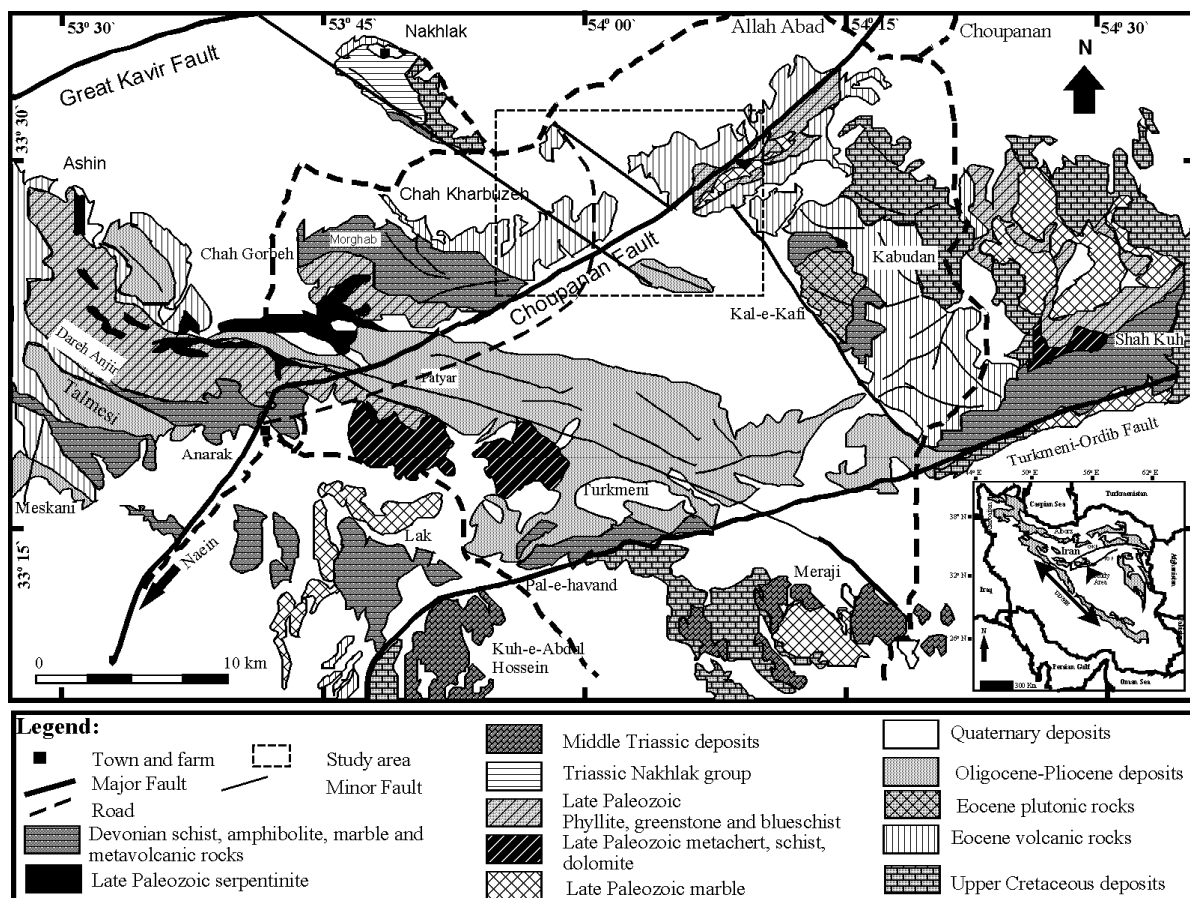
Analysis	G2	G6	G7-2	G11	G12-2	G13	G15—1	G20-3	G21-3	G23	REPG23
SiO ₂	۵۷,۸۰	۵۵,۱۰	۶۲,۰۰	۵۷,۷۰	۶۲,۱۰	۵۶,۵۰	۶۱,۳۰	۵۷,۴۰	۵۷,۹۰	۶۱,۲۰	۵۹,۶۰
TiO ₂	۰,۶۹	۰,۷۲	۰,۵۵	۰,۶۲	۰,۵۸	۰,۶۱	۰,۵۷	۰,۶۶	۰,۵۸	۰,۵۸	۰,۵۶
Al ₂ O ₃	۱۵,۲	۱۴,۳	۱۵,۴	۱۶,۴	۱۵,۱	۱۶,۷	۱۵,۶	۱۵,۰	۱۴,۶	۱۵,۶	۱۵,۲
Cr ₂ O ₃	۰,۰۲	۰,۰۳	۰,۰۱>	۰,۰۱>	۰,۰۱>	۰,۰۱>	۰,۰۱>	۰,۰۱>	۰,۱۰	۰,۰۱>	۰,۰۱>
Fe ₂ O ₃ *	۵,۶۲	۶,۳۶	۴,۱۴	۴,۵۱	۴,۸۸	۴,۷۰	۴,۸۵	۵,۰۴	۵,۰۴	۴,۸۷	۴,۷۳
MnO	۰,۰۹	۰,۱۲	۰,۰۵	۰,۰۸	۰,۰۸	۰,۱۱	۰,۰۷	۰,۱۱	۰,۱۱	۰,۱۰	۰,۱۰
MgO	۳,۷۶	۴,۲۳	۱,۲۱	۱,۱۵	۰,۸۷	۰,۸۲	۲,۰۱	۲,۹۱	۲,۰۷	۱,۵۳	۱,۴۷
CaO	۵,۱۸	۶,۹۹	۳,۳۵	۴,۹۷	۳,۳۹	۴,۲۳	۳,۴۶	۴,۷۷	۴,۴۶	۴,۴۰	۴,۲۷
Na ₂ O	۳,۸۰	۳,۴۰	۴,۲۰	۵,۷۰	۵,۲۰	۵,۷۰	۴,۵۰	۲,۶۰	۳,۴۰	۳,۸۰	۳,۷۰
K ₂ O	۲,۶	۲,۵	۴,۰	۳,۸	۲,۹	۴,۷	۳,۵	۳,۲	۴,۷	۴,۸	۴,۸
P ₂ O ₅	۰,۳۲	۰,۴۰	۰,۲۲	۰,۲۷	۰,۲۶	۰,۲۶	۰,۲۶	۰,۲۳	۰,۲۹	۰,۲۶	۰,۲۷
LOI	۳,۳۸	۳,۷۸	۲,۸۴	۴,۴۵	۱,۶۱	۴,۰۳	۲,۱۸	۴,۵۴	۳,۰۰	۳,۲۷	۳,۲۰
Sum	۹۹,۴۰	۹۸,۹۰	۹۸,۵۰	۹۹,۷۰	۹۷,۰۰	۹۸,۵۰	۹۸,۳۰	۹۸,۰۰	۹۶,۲۰	۱۰۰,۳۰	۹۷,۸۰
Ni	۴۵	۵۰	۲۵	۲۱	۱۷	۱۴	۱۸	۲۶	۳۹	۲۶	۲۷
Co	۱۷,۵۰	۲۲,۴۰	۱۱,۱۰	۱۲,۸۰	۸,۸۰	۷,۰۰	۱۱,۴۰	۱۵,۷۰	۱۵,۰۰	۱۲,۶۰	۱۲,۳۰
V	۱۱۷	۱۴۵	۹۰	۱۱۳	۷۷	۹۸	۸۸	۱۲۰	۹۸	۹۱	۹۵
Cu	۵۰	۷۲	۶۰	۶۷	۴۲	۵۱	۳۸	۵۱	۴۴	۴۵	۴۵
Zn	۶۸	۷۵	۷۱	۱۷۱	۶۹	۱۳۱	۶۶	۷۲	۶۳	۶۵	۱۰۵
Sn	۴	۴	۲	۳	۳	۲	۳	۳	۳	۳	۲
W	۱>	۱	۳	۱	۱	۱	۱	۲	۲	۲	۳
Mo	۲>	۲	۲	۲	۲>	۲>	۲	۳	۳	۳	۳
Ag	۱>	۱>	۱>	۱>	۱>	۱>	۱>	۱>	۱>	۱>	۱>
Rb	۵,۸۹	۶,۹۰	۱۱۲	۲,۹۴	۸,۷۲	۱۱۹	۸,۹۶	۹۵	۱۵۴	۱۵۶	۱۵۶
Cs	۶,۳	۵,۴	۸,۵	۸,۲	۶,۲	۵,۲	۵,۳	۵	۵,۱۰	۴,۸	۴,۸
Ba	۸,۲۰	۷,۲۰	۶,۸۰	۶,۶۰	۷,۴۰	۹,۰۰	۸,۰۰	۸,۷۰	۸,۵۰	۷,۹۰	۷,۷۰
Sr	۱,۰۰	۱۳۹,۰	۱۴۱,۰	۱,۰۲۰	۱,۰۹۰	۸,۳۰	۱۳۷,۰	۱۵۸,۰	۱۱۴,۰	۱,۰۷۰	۱,۰۶۰
Ga	۱۸	۱۸	۲۰	۱۹	۱۶	۱۷	۲۰	۲۰	۱۹	۲۰	۱۹
Ta	۰,۵۰	۰,۹۰	۰,۶۰	۰,۸۰	۰,۸۰	۰,۸۰	۰,۶۰	۰,۸۰	۰,۷۰	۰,۷۰	۰,۷۰
Hf	۵	۵	۵	۶	۶	۵	۶	۵	۵	۵	۵
Zr	۱۵۸	۱۸۵	۱۸۳	۲۱۰	۲۰۰	۲۱۳	۱۹۷	۲۲۱	۱۸۹	۱۹۲	۱۸۹
Th	۶,۷	۸,۹	۹,۴	۱,۰,۴	۱۰,۶	۱۱,۵	۱۱,۰	۱۰,۴	۹,۸	۱۰,۸	۱۰,۴
U	۲۷,۲	۲,۳۱	۳,۳۱	۲,۲۲	۲,۰۷	۲,۷۸	۳,۲۰	۲,۷۴	۲,۹۱	۲,۹۸	۲,۸۴
Nb	۱۰	۱۳	۱۱	۱۳	۱۳	۱۳	۱۱	۱۳	۱۲	۱۱	۱۱
La	۲۹,۷۰	۴۰,۷۰	۳۰,۷۰	۳۵,۳۰	۳۶,۶۰	۳۹,۵۰	۳۹,۸۰	۴۰,۹۰	۳۶,۸۰	۳۵,۸۰	۳۶,۷۰
Ce	۵۷,۵۰	۸۲,۱۰	۵۷,۳۰	۷۲,۶۰	۷۲,۹۰	۷۶,۳۰	۷۵,۹۰	۷۹,۸۰	۷۱,۰۰	۶۸,۷۰	۶۹,۴۰
Pr	۷,۱۷	۱۰,۲۰	۶,۷۴	۸,۸۷	۸,۷۴	۸,۶۳	۸,۹۷	۹,۰۳	۸,۳۴	۸,۱۰	۸,۱۴
Nd	۲۷,۳۰	۴۰,۱۰	۲۵,۱۰	۳۴,۳۰	۳۲,۲۰	۳۲,۴۰	۳۳,۵۰	۳۶,۸۰	۳۱,۹۰	۳۱,۱۰	۳۰,۶۰
Sm	۱,۵	۷,۶	۴,۲	۶,۲	۶,۳	۶,۱	۶,۱	۶,۸	۵,۵	۵,۵	۵,۳
Eu	۱,۳۲	۱,۸۹	۱,۱۶	۱,۵۶	۱,۲۹	۱,۴۱	۱,۵۲	۱,۶۸	۱,۴۳	۱,۲۸	۱,۳۹
Gd	۴,۲۶	۶,۰۶	۳,۵۰	۵,۱۳	۵,۰۱	۵,۲۸	۴,۶۶	۵,۸۰	۴,۷۲	۴,۴۸	۴,۷۶
Tb	۰,۵۸	۰,۷۹	۰,۴۹	۰,۷۴	۰,۷	۰,۸	۰,۶۴	۰,۷۸	۰,۶۴	۰,۶۶	۰,۶۴
Dy	۳,۱۲	۴,۰۱	۲,۸۵	۳,۷۱	۳,۷۷	۳,۸	۳,۶۲	۴,۰۲	۳,۴۶	۳,۲۵	۳,۴۹
Ho	۰,۶۳	۰,۷۹	۰,۶	۰,۷۸	۰,۷۳	۰,۸۹	۰,۷۲	۰,۸۶	۰,۷۳	۰,۷۲	۰,۶۹
Er	۱,۷۳	۲,۰۷	۱,۶۱	۲,۰۶	۹,۱	۲,۱۵	۱,۸۷	۲,۱۸	۱,۹۴	۱,۷۶	۱,۹۶
Tm	۰,۲۷	۰,۳۱	۰,۲۴	۰,۳	۰,۲۹	۰,۴	۰,۲۲	۰,۳۴	۰,۲۸	۰,۲۲	۰,۳۱
Yb	۱,۷	۱,۹	۱,۶	۲	۱,۸	۲	۲	۳,۲	۱,۸	۱,۹	۱,۸
Lu	۰,۲۸	۰,۳۱	۰,۲۴	۰,۳۲	۰,۲۹	۰,۴۱	۰,۳۳	۰,۳۵	۰,۲۹	۰,۳	۰,۳۱

با روند شمال شرقی-جنوب غربی اشاره کرد [۶]. رخنمون سنگ‌های آتشفشاری منطقه بیشتر از روند این گسل‌ها پیروی می‌کند. موقعیت این منطقه بر روی نقشه‌ی ایران و موقعیت گسل‌ها در شکل ۱ نشان داده شده‌اند.

تعیین سن سنگ‌های آتشفشاری مورد بررسی به روش K-Ar ۵۳ میلیون سال (ائوسن زیرین - میانی) را به دست داده است [۷]. این سنگ‌های آتشفشاری ائوسن در شمال غرب توده‌ی نفوذی کالکافی و کوه خونی قرار دارند. مجموعه‌ی نفوذی کالکافی نیز از شمال غرب به مجموعه‌ی دگرگونی انارک محدود می‌شود که توسط زمین‌شناسان روسی و ریز و محافظت [۸] (براساس تعیین سن شیست‌ها با روش Rb-Sr ۸۴۵ میلیون سال) به پرکامبرین نسبت داده شده‌اند. سنگ‌های افیولیتی انارک که به وسیله‌ی مجموعه‌ی دگرگونه‌های انارک پوشانده شده‌اند، قدیمی‌ترین سنگ‌های منطقه محسوب می‌شوند. سنگ‌های آتشفشاری ائوسن روی سازنده‌های کرتاسه و در مواردی دگرگونی‌های انارک قرار دارند (شکل ۱).

زمین‌شناسی عمومی منطقه
سنگ‌های آتشفشاری ائوسن در شمال شرق انارک و جنوب غرب چوپانان (بخش‌های شمال شرقی استان اصفهان) بین طول‌های جغرافیایی $54^{\circ} 30'$ شمالي و $54^{\circ} 00'$ شمالي و عرض‌های جغرافیایی $33^{\circ} 23'$ شرقی رخنمون خوبی دارد. در تقسیمات زمین‌شناسی ایران، این منطقه در زون ساختاری ایران مرکزی قرار دارد [۴]. علوی [۴] در پنهان بندی دقیق ایران مرکزی، منطقه‌ی یاد شده را بخشی از بلوك یزد می‌داند و زمین‌شناسان روسی در طرح تکنواکسپورت [۵] در بررسی‌های ناحیه‌ای خود این منطقه را جزئی از ماسیف انارک [آگرانکوه]- خور به حساب آورده‌اند.

منطقه‌ی مورد بررسی از نظر ساختاری بین دو گسل راستا لغز بزرگ، گسل کویر بزرگ (گسل درونه) در شمال و گسل ترکمنی- اوردیب (گسل بیابانک) در جنوب قرار دارد. گسل چوپانان که از گسل‌های اصلی و بسیار مهم ایران مرکزی است از منطقه‌ی مورد بررسی عبور می‌کند. از گسل‌های فرعی مهم در منطقه می‌توان به گسل‌های کالکافی، شمال انارک و خونی



شکل ۱ نقشه‌ی زمین‌شناسی ساده شده منطقه‌ی جنوب غرب چوپانان (شمال شرق استان اصفهان).

پیروکسن‌ها از نوع کلینوپیروکسن بوده و ترکیب آن‌ها از دیوپسید تا اوژیت ($Mg\#$ 0.84-0.94) در نوسان است. این کانی بر اثر دگرسانی در اغلب موارد کربناتی شده و تنها بخش‌هایی از آن‌ها قابل رویت‌اند (شکل ۲).

بنابر رده‌بندی [۱۳] آمفیبول‌های این مجموعه کلسیم‌دار بوده و ترکیب آن‌ها از مگنزیو‌هاستینگسیت ($Mg\#$ 0.54) تا مگنزین هاستینگسیت ($Mg\#$ 0.80) و فروپارگازیت در تغییر است (شکل ۲). این کانی به صورت شکل‌دار و به رنگ سبز در این سنگ‌ها دیده می‌شود. همچنین در برخی از آن‌ها منطقه‌بندی با کاهش آهن و افزایش منیزیم از مرکز به حاشیه، خوردگی خلیجی حاشیه و بافت غربالی قابل رویت‌اند.

براساس نمودار [۱۴] ترکیب پلازیوکلازها از آندزین تا الیگوکلاز (An 18-39%) در نوسان بوده و در برخی موارد منطقه‌بندی نوسانی و گاهی وارون از خود نشان می‌دهند. همچنین در درون پلازیوکلازها اتحلال و خوردگی صورت گرفته و بافت غربالی و آنتی راپاکیوی قابل رویت است. این کانی بر اثر دگرسانی به کلریت، کلسیت، پرهنیت و کانی‌های رسی تبدیل شده‌اند (شکل ۳ الف).

فلدسپار پتاسیم در این سنگ‌ها اکثراً در گستره‌ی سانیدین (Or 65-69%) بوده و بیشتر به زمینه محدود می‌شوند. گاهی درشت بلورهای آن‌ها دارای حاشیه‌ی مات و غبار آلودند (شکل ۳ الف).

میکاهای موجود در این سنگ‌ها بنابر رده‌بندی [۱۵] از نوع بیوتیت ($Mg\#$ 0.54-0.58) تا فلوگپیت از ($Mg\#$ 0.75-0.90) هستند. این کانی به صورت سالم و با حاشیه‌ی سوخته در سنگ‌هایی وجود دارد که در اثر دگرسانی به کلریت تبدیل شده‌اند (شکل ۳ ب). کوارتز به دو صورت ریز بلور و درشت بلور در مقاطع دیده می‌شود که درشت بلورهای آن اغلب با حاشیه‌های بریده‌اند. کانی‌های تیره در این سنگ‌ها به صورت ادخال در بلورهای درشت کانی‌های فرومیزین و یا در خمیره دیده می‌شوند که ترکیب آن‌ها شامل هماتیت، مگنتیت، تیتانومگنتیت و ایلمنیت است. علاوه بر کانی‌های تیره، زیرکن، اسفن و آپاتیت نیز در این سنگ‌ها به عنوان کانی فرعی قابل رویت‌اند.

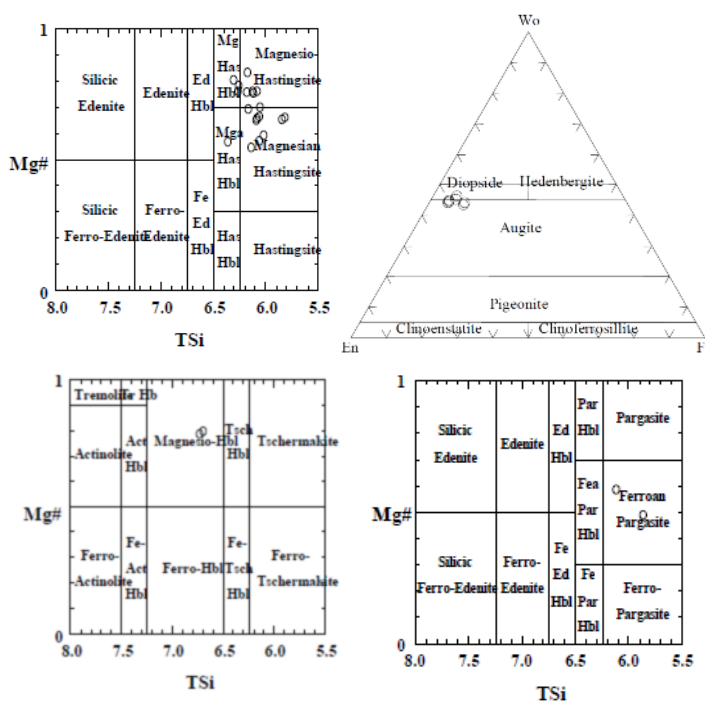
زمین‌شناسی منطقه‌ی انارک تا جندق توسط افراد مختلفی بررسی شده است. احمدیان و همکاران [۹] مجموعه سنگ‌های پلوتونیک کالکافی واقع در شمال شرق انارک را یکی از پدیده‌های ماجمایی وابسته به کوه‌های پیرنه در زون ساختاری ایران مرکزی دانسته و زمان رخداد این پلوتونیسم را به اؤسن میانی نسبت می‌دهند. همچنین بهادران [۱۰] موقعیت زمین‌شناسی سنگ‌های آتشفشاری اؤسن منطقه‌ی عروسان کبودان در ایران مرکزی را نسبت به کمان ماجمایی ارومیه-دختر در یک محیط پشت قوس در نظر گرفته است. سیاری [۱۱] علت آتشفشاری اؤسن شمال انارک را به فرورانش نتوتیس و ادامه‌ی برخورد قاره‌ای در زمان اؤسن نسبت داده است.

سنگ‌نگاری و شیمی کانی‌ها

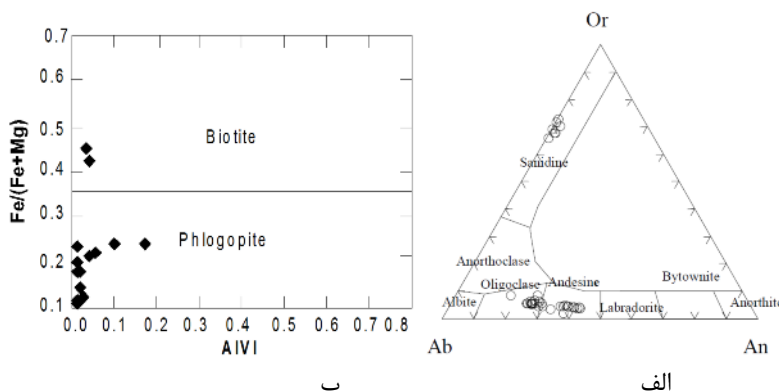
سنگ‌های آتشفشاری اؤسن در جنوب غرب چوبانان که طی چند فاز فوران کرده‌اند به صورت گدازه‌ها و سنگ‌های آذرآواری بروندز دارند. براساس بررسی‌های سنگ‌نگاشتی، این سنگ‌های آتشفشاری از نظر ترکیب شیمیایی در طیف نسبتاً اسیدی تا حد واسطه قرار می‌گیرند. سنگ‌های آتشفشاری تا نیمه آتشفشاری منطقه شامل آندزیت، تراکی آندزیت و داسیت بوده که برخی حاوی زنولیت‌هایی از گدازه و توف هستند. آندزیت‌ها بیشترین فراوانی را به خود اختصاص داده‌اند. سنگ‌های آذرآواری منطقه نیز شامل توف سنگی، توفیت و برش توفی متمايل به سرخند. بافت‌هایی نظیر پورفیری، پوئی کیلیتیک، گلومرپورفیری، غربالی و جریانی در سنگ‌های این منطقه رایج است.

از نظر کانی‌شناسی، سنگ‌های منطقه شامل کوارتز، فلدسپار پتاسیم، پلازیوکلاز و کانی‌های مافیک همچون بیوتیت، کلینوپیروکسن و آمفیبول تشکیل می‌دهد. کانی‌های فرعی این سنگ‌ها عبارتند از زیرکن، آپاتیت، اسفن و مگنتیت. در عین حال مقدار ناچیزی از کلریت، کلسیت، کوارتز و در مواردی پرهنیت به عنوان کانی‌های ثانویه در این سنگ‌ها به چشم می‌خورد.

نتایج آنالیز ریز پردازشی بر روی کانی‌های پلازیوکلاز، آمفیبول و بیوتیت بیانگر همخوانی نتایج حاصل از ترکیب کانی‌شناسی با ژئوشیمی سنگ است. بر اساس نمودار [۱۲]



شکل ۲ نمودارهای تقسیم بندی آمفیبول‌ها [۱۳] و ترکیب شیمیایی کلینوپیروکسن‌های [۱۲] سنگ‌های آتشفشارانی ائوسن جنوب غرب چوبانان در نمودار مثلثی Wo-En-Fs.



شکل ۳ الف. نمایش ترکیب فلدسپارهای سنگ‌های آتشفشارانی ائوسن جنوب غرب چوبانان بر روی نمودار مثلثی An-Alb-Or [۱۴] ب. نمودار تقسیم‌بندی میکاهای سنگ‌های آتشفشارانی ائوسن جنوب غرب چوبانان [۱۵].

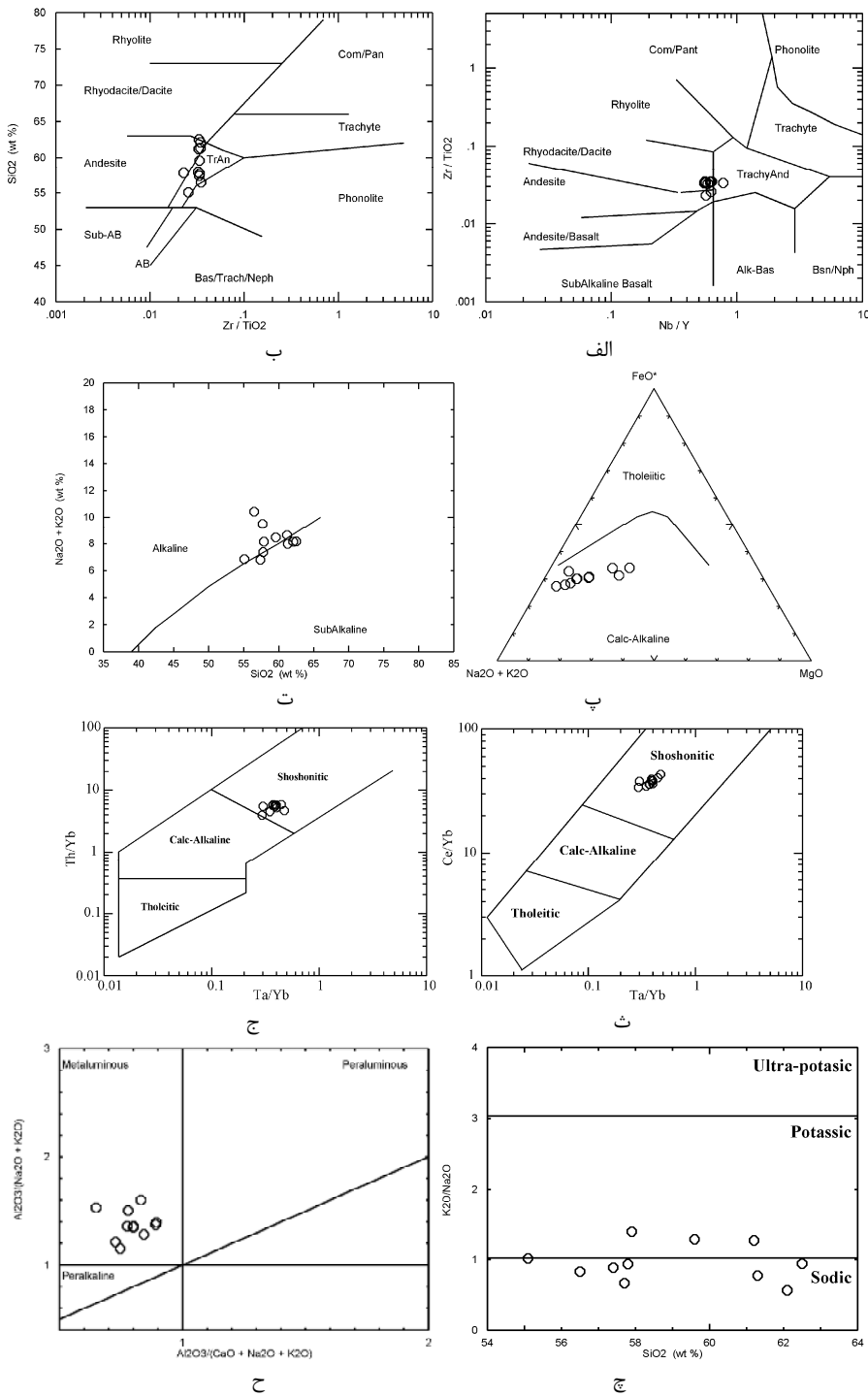
در شکل ۴ (الف و ب) رده‌بندی و نام‌گذاری سنگ‌های مورد بررسی بر اساس روش [۱۶] نشان می‌دهد که بیشتر ترکیب نمونه‌ها در گستره‌ی آندزیت، تراکی آندزیت، داسیت و ریولیت قرار می‌گیرد.

بررسی‌های ژئوشیمیایی و استفاده از نمودارهای مربوط به تعیین سری ماقمایی [۱۷] نیز نشان می‌دهد که این سنگ‌ها به دو سری ماقمایی قلیایی تا شبه قلیایی وابسته‌اند می‌باشند (شکل ۴ ت). در نمودارهای [۱۸، ۱۹] نیز نمونه‌ها به سری

ژئوشیمی سنگ‌ها
نتایج حاصل از آنالیزهای ژئوشیمیایی این سنگ‌ها نشان می‌دهد که مقدار SiO_2 این سنگ‌ها ۶۲/۱ تا ۵۵/۱ درصد است که نشان دهنده‌ی حدوداً بودن این سنگ‌هاست. Al_2O_3 در این سنگ‌ها از ۱۴/۳ تا ۱۶/۷ درصد و نزدیک به سنگ‌های سری ماقمایی شوшونیتی و آهکی-قلیایی است. TiO_2 این سنگ‌ها از ۰/۵۵ تا ۰/۷۲٪ متغیر بوده که به سبب کمتر بودن مقدار آن‌ها از عدد ۱ بیانگر ماهیت شوشونیتی تا آهکی-قلیایی این سنگ هاست.

بررسی و رسم نمودار بر اساس $\text{SiO}_2/\text{Na}_2\text{O}$ در نسبت به Zr/TiO_2 نشان می‌دهد که این سنگ‌ها دارای ماهیت سدی متمایل به پتانسی هستند [۲۲] (شکل ۴ ج).

شوشونیتی تمایل نشان می‌دهند (شکل ۴ ث و ج). این سنگ‌ها از نظر چگونگی آلومینیوم، شبه رخشانند [۲۰] (شکل ۴ ح). نمونه‌ها در نمودار AFM [۲۱] به آهکی- قلیایی تمایل دارند (شکل ۴ پ). استفاده از ترکیب شیمیایی سنگ‌های مورد



شکل ۴ نمودارهای الف و ب تعیین کننده نام سنگ [۱۶]، پ، ت، ث و ج تعیین کننده سری ماغما [۱۷-۱۹]، [۲۱]، [۲۲]، ح وضعیت آلومینیوم [۲۰] در سنگ‌های آتشفشاری اوسن جنوب غرب چوبان.

کاهش نسبت حجمی کانی‌های فرومزنین (پیروکسن، آمفیبول، کلینوپیروکسن) و کدر اولیه (ایلمنیت) است.

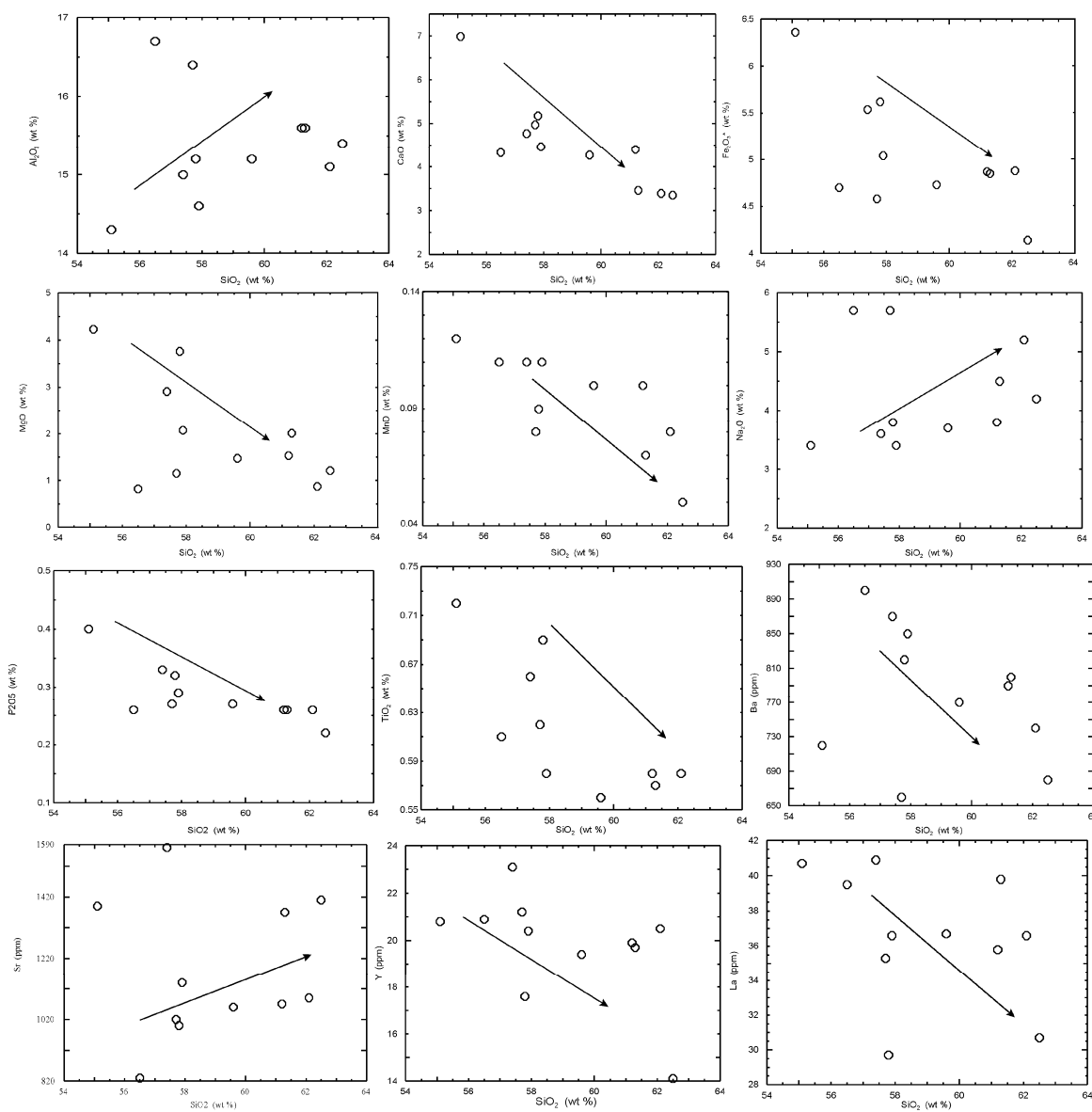
محتوای P_2O_5 موجود در نمونه‌ها زیر کنترل نسبت حجمی آپاتیت در نمونه‌هاست.

افزایش نسبت حجمی پلازیوکلاز تأیید کننده‌ی چگونگی افزایشی Al_2O_3 و روندی با شیب مثبت نسبت به SiO_2 دارد.

کاهش مقادیر Co , Cr , V , Ti , Nb نسبت به SiO_2 نشانه‌های پیشرفت جدایش بلوری و کانی‌های آهن و منیزیم و تیتان دارند.

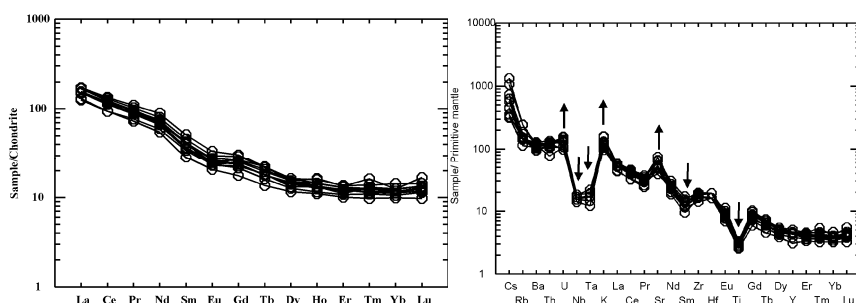
با توجه به تغییرات مقادیر عناصر اصلی و کمیاب روی نمودارهای هارکر [۲۳] معلوم شد که اکسیدهای اصلی Na_2O , Al_2O_3 از فراوانی بالایی برخوردارند و روند تغییرات این عناصر نسبت به SiO_2 خطی و صعودی است. در حالی که اکسیدهای Ti_2O , CaO , MgO , MnO , Fe_2O_3 , P_2O_5 از میزان کمتری برخوردارند و روند آن‌ها نسبت به SiO_2 روندی نزولی است (شکل ۵).

کاهش مقادیر O , CaO , Fe_2O_3 , MgO و TiO_2 با افزایش مقدار SiO_2 نشانه‌ی پیشرفت جدایش ماقمایی و

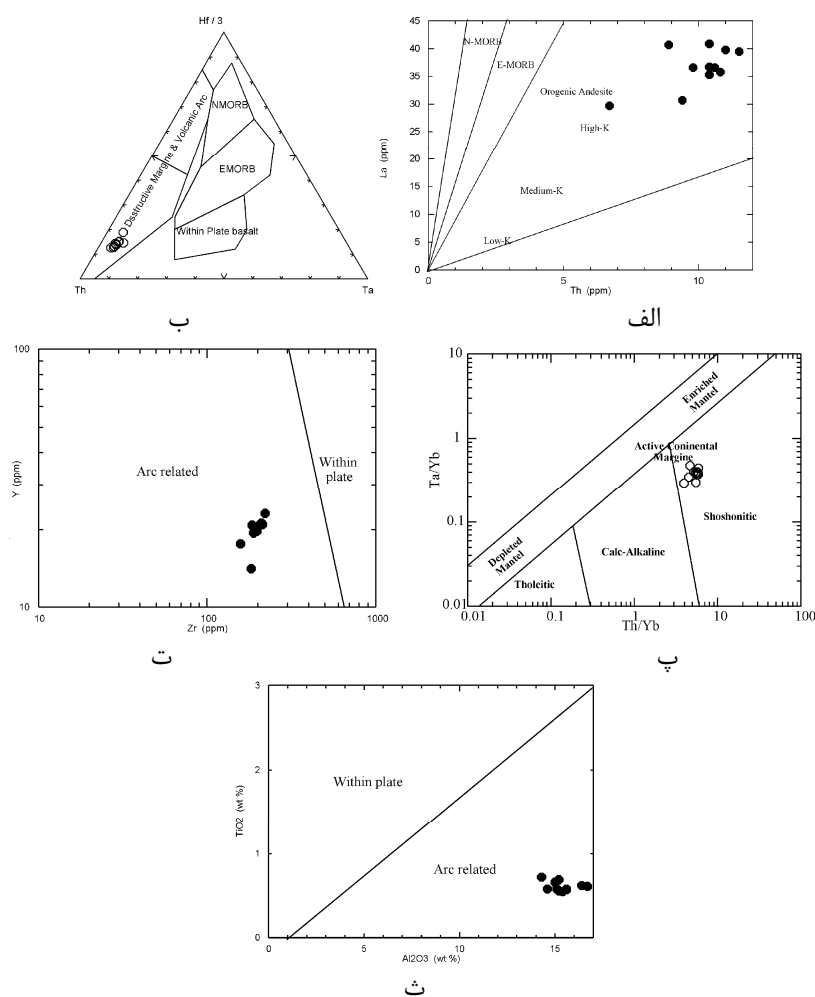


شکل ۵ نمودارهای هارکر سنگ‌های آتشفشارانی ائوسن جنوب غرب چوبانان.

عناصر Rb, Ta, Nb, Ti و Sm و مثبت عناصر LILE شامل U, K, Sr به منظور تعیین موقعیت زمین‌ساختی از نمودارهای [۲۵-۲۸] استفاده شد. این نمودارها ماهیت کوهزایی و ارتباط آن‌ها با یک قوس آتشفسانی را برای نمونه‌ها نشان می‌هند (شکل ۷).



شکل ۶ نمودار بهنجار شده عناصر نادر خاکی سنگ‌های آتشفسانی ایوسن جنوب غرب چوبانان نسبت به کندریت [۲۴] و نمودار چند عنصری بهنجار شده نسبت به گوشه‌تهی اولیه [۲۴].



شکل ۷ نمودارهای مختلف بیانگر موقعیت زمین‌ساختی سنگ‌های آتشفسانی ایوسن جنوب غرب چوبانان الف [۲۵]، ب [۲۶]، ت [۲۷]، پ [۲۸]، ج [۲۸].

این سنگ‌ها در نمودار بهنجارسازی نسبت به کندریت [۲۴]، میزان عناصر نادر خاکی سنگین کمتری داشته و غنی شدگی مشخصی از عناصر نادر خاکی سبک را نشان می‌دهند (شکل ۵). نمونه‌های مورد بررسی در نمودار عنکبوتی بهنجارسازی نسبت به گوشه‌تهی اولیه [۲۴] بیهنجاری منفی

بحث و بررسی

شیمی کانی‌ها و ویژگی‌های سنگ‌نگاری آن‌ها بیانگر شواهدی از شرایط غیر تعادلی و تأثیر پدیده‌ی اختلاط ماقمایی نظیر وجود منطقه‌بندی وارون در پلازیوکلازها، وجود منطقه‌بندی با تغییرات نسبت آهن به منیزیم در آمفیبول‌ها، وجود بافت غربالی در پلازیوکلازها و آمفیبول، بافت آنتی راپاکی وی در پلازیوکلازها، بافت پوئی کیلیتیک، حاشیه‌ی غبار آلود اطراف سانیدین و وجود بیوتیت و فلوگوبیت بر سنگ‌های این منطقه است. همچنین وجود زنولیت و برونبومهایی با ترکیبی متنوع در گدازه‌های منطقه را می‌توان به آلایش ماقمایی نسبت داد.

سنگ‌های آتشفشانی ائوسن جنوب غرب چوبانان در نزدیکی دو رخمنون دیگر از سنگ‌های آتشفشانی ائوسن (معلی و عروسان کبودان) واقع شده‌اند. از نظر سری ماقمایی سنگ‌های آتشفشانی ائوسن معنی دارای ماهیت آهکی- قلیایی و سنگ‌های آتشفشانی ائوسن عروسان کبودان دارای ماهیت شوشونیتی هستند. قرارگیری سنگ‌های آتشفشانی ائوسن جنوب غرب چوبانان با ماهیت آهکی- قلیایی متمایل به شوشونیتی در میان دو منطقه‌ی یاد شده نشانگر آن است که این سنگ‌ها از یک ماقمای واحد متبلور نشده و در تشکیل آن‌ها اختلاط دو ماقما با ترکیب حد وسط و آلایش ماقمایی سهم به سزاوی داشته‌اند. این ادعا در همخوانی با بررسی‌های انجام شده در منطقه اوردیب (جنوب خور) نیز همخوانی دارد [۳۳].

با توجه به شواهد زمین‌شناسی و ژئوشیمیایی منطقه، محیط زمین‌ساختی این سنگ‌ها یک محیط کششی در زمان ائوسن بوده است که می‌تواند حاصل فرورانش پوسته‌ی اقیانوسی نئوتیس در راستای تراست زاگرس و یا فرورانش پوسته اقیانوسی اطراف بلوك - شرق ایران مرکزی باشد. از آنجا که باقی مانده‌ی پوسته اقیانوسی اطراف بلوك شرق -

سنگ‌های آتشفشانی ائوسن جنوب غرب چوبانان در گستره‌ی آندزیت بازالتی تا داسیت قرار می‌گیرند. بنابر نمودارهای عنکبوتی به هنجار شده با گوشه‌ی اولیه‌ی، سنگ‌های منطقه از LILE غنی شده و از عناصر HFS تهی شده‌اند که این شاخص سنگ‌های آتشفشنی وابسته به قوس آتشفشنی است [۲۹]. از طرفی بی‌هنجاری منفی عناصر Nb, Ti, Ta و غنی شدگی از عناصر گروه LILE می‌تواند نشانگر شکل‌گیری سنگ‌ها در منطقه‌ی فرورانش بوده و دلیلی بر ریشه گرفتن ماقمایی به وجود آورنده‌ی این سنگ‌ها از یک گوشه‌ی غنی شده در بالای یک زون فرورانش باشند [۳۰]. مقدار کم Nb, Zr, TiO_2 و غنی شدگی از عناصر LREE نسبت به عناصر HREE وابستگی این سنگ‌ها به سری ماقمایی آهکی- قلیایی را نشان می‌دهد. همچنین می‌تواند نشانگر این باشد که سنگ مادر ماقما دارای اسپینل و پیروکسن بوده و عناصر نادر خاکی سنگین را در خود نگه داشته و موجب تهی شدگی نمونه‌های مورد بررسی از این عناصر شده است.

علاوه بر تأثیر عملکرد فرآیند ذوب بخشی گوشه‌ی غنی شده طی فرآیند دگرنهادی تحت تأثیر شاره‌های با گدازه‌های حاصل از ورقه‌ی فرورونده در بالا بودن نسبت LREE بوده و فرآیند آلودگی پوسته‌ای نیز می‌تواند تا حدودی در آن مؤثر باشد. به ویژه این که این ماقما از ضخامت حدود ۴۵ کیلومتری ایران مرکزی عبور کرده‌اند [۳۱]. آلایش با مواد پوسته‌ای در سنگ‌ها تأثیر بسیاری در فراوانی عناصر فرعی (به خصوص عناصر ناسازگار) دارد [۳۲]. از شواهد این آلایش و اختلاط می‌توان به وجود مقادیر بالای La/Nb (۲/۷ تا ۳/۶) در سنگ‌های مورد بررسی و بی‌هنجاری‌های منفی Nb, Ti در نمودارهای عنکبوتی، افزایش میزان Ba, K, Rb و از طرفی فقدان و تخلیل Y, Zr, Ti, Nb می‌شود.

[۲] نبوی، م.ح، "دیباچه‌ای بر زمین‌شناسی ایران"، انتشارات سازمان زمین‌شناسی، (۱۳۵۵) ص ۱۰۹.

[۳] Shtöcklin J., "Structural and history and tectonics of Iran: a review.", AAPG Bulletin 52 (1968).

[۴] Aistov L., Melnikov B., Krivyakin B., Morozov L., "Geology of Khur area (Central Iran)", Explanatory text of khur quadrangle map 1:25000 (1984).

[۵] Alavi M., "Sedimentary and structural characteristics of the Paleo – Tethys remnants in northeastern", Geological society of America Bulletin 103 (1991) 983 – 992.

[۶] آقاباتی ع، "زمین‌شناسی ایران"، انتشارات سازمان زمین‌شناسی، (۱۳۵۵) ص ۱۰۹.

[۷] Yakovenko V., Chinakov I., Kokorin Yu., Krivyakin B., "Report on detailed geological prospecting in Anarak Area (Kal-e Kafi-Khoni Locality)", V/O <<Technoexport>>, Rep. No.13, Moscow, (1981) 293.

[۸] Rayre D., Mohafez S., "A first contribution of the NICO-ERAP", agreement to the knowledge of Iranian geology, edition Technips Paris (1972) 58.

[۹] Ahmadian J., Haschke M., Mc Donald I., Regelous M., Ghorbani M. R., Emami M. H., Murata M, "High magmatic flux during Alpine-Himalayan collision Constraints from the Kal-e-Kafi complex, central Iran", Geological Society of America Bulletin 121 (2009) 857-868.

[۱۰] بهادران ن، "پترولوزی و ژئوشیمی سنگ‌های ولکانیک منطقه‌ی عروسان کبودان (شمال شرق اصفهان)", پایان نامه‌ی کارشناسی ارشد پترولوزی، گروه زمین‌شناسی دانشگاه اصفهان، (۱۳۸۶) ص ۱۳۰.

[۱۱] سیاری م، "پترولوزی سنگ‌های آتشفشنانی اتوسن در شمال منطقه‌ی اتارک (شمال شرق استان اصفهان)", پایان

ایران مرکزی (همچون افیولیت‌های نایین و عشین) به این منطقه بسیار نزدیک‌تر است، بنابراین احتمال تأثیر این فرورانش بیشتر از فرورانش در راستای تراست زاگرس است.

برداشت

مجموعه‌ی سنگ‌های آتشفشنانی اتوسن واقع در جنوب غرب چوپانان که در زون ایران مرکزی دیده می‌شود، از نظر سنگ‌شناسی طیفی از سنگ‌های از سنگ‌های اسیدی (داسیت و ریولیت) تا حدواتط (آنذیت و تراکی آندزیت) را در بر می‌گیرند. بر مبنای نتایج بدست آمده از بررسی‌های صحرابی، سنگ نگاری و ژئوشیمی سنگ کل سنگ‌های آتشفشنانی اتوسن جنوب غرب چوپانان، دارای ویژگی‌های ماهیت انتقالی (سرشت آهکی- قلیایی متمایل به شوشوونیتی) هستند؛ که این ناهماهنگی و تغییرات زیاد در غلظت برخی عناصر، نقش آلایش و اختلاط ماقمایی در تکامل آتشفشنانی اتوسن در این منطقه را نشان می‌دهد.

با در نظر گرفته سن سنگ‌های مورد بررسی، موقعیت زمین‌شناسی آن‌ها و اطلاعات بدست آمده از نمودارهای تعیین محیط زمین‌ساختی، رخداد آتشفشنانی اتوسن در این منطقه را می‌توان به رخداد فرورانش در اطراف خرد قاره‌ی شرق - ایران مرکزی نسبت داد. همچنین بررسی‌های صورت گرفته بیانگر آن است که سنگ‌های آتشفشنانی منطقه‌ی مورد بررسی در یک قوس ماقمایی وابسته به فرورانش تشکیل شده‌اند.

تشکر و قدردانی

نویسنده‌گان مقاله از حمایت‌های مالی دانشگاه اصفهان تشکر می‌نمایند.

مراجع

[۱] عطاپور ح، "زمین‌شناسی و سنگ‌شناسی و ژئوشیمی سنگ‌های شوشوونیتی ایران زمین"، سازمان زمین‌شناسی کشور، گزارش داخلی، (۱۳۷۳) ص ۱۴۱.

- settings, a pilot study", Contributions to Mineralogy and Petrology 46 (1992) 259-289.*
- [20] Maniar P.D., Piccoli P.M., "Tectonic discrimination of granitoids", Geological Society of America Bulletin, 5 (1989) 635-643.
- [21] Wernick E., Carmo Menezes A., "The Late Precambrian K-alkaline magmatism in the Riberia Fol. Belt: a case study of the Piracaia Pluton, State of São Paulo, SE Brazil, and its Potential mineralization (Cu, Zn, Gd)", Journal of Asian Earth Sciences, 19 (2001) 347-373.
- [22] Harker A., "The natural history of igneous rocks", Methuen, London (1909) 344.
- [23] Jaques A. L., Creaser R. A., Ferguson J., Smith C. B., "A review of the alkaline rocks of Australia". South African Journal of Geology, 88(2) (1985) 311-334.
- [24] Sun S. S., McDonough W.F., "Chemical and isotopic systematics of oceanic basalts: implications for mantle composition and processes.", The Geological Society Special Publication, London, (1989) 313–345.
- [25] Gill J., "Orogenic Andesites and Plate Tectonics, Springer Verlag", Berlin, (1981) 390.
- [26] Wood D.A., "The application of a Th-Hf-Ta Diagram to problems of tectonomagmatic classification and to establishing the nature of crustal contamination of basaltic lavas of the British Tertiary volcanic province", Earth Planet Sci. Lett 50 (1980) 11-30
- [27] Le Maitre R.W., "A Classification of Igneous Rocks and Glossary of Terms (IUGS): Recommendations of the IUGS Subcommission on the Systematics of Igneous Rocks", Blackwell, Oxford (1989) 193.
- [28] Muller D., Groves D.I., "Potassic igneous rocks and associated gold-copper mineralization", lecture Notes in Earth Sciences, 56 (1997) 238.
- [29] Foley S.F., Wheller G.E., "Parallels in the origin of the geochemical signature of island arc volcanic rocks and continental potassic igneous
- نامه‌ی کارشناسی ارشد پترولولوژی، گروه زمین‌شناسی دانشگاه اصفهان، (۱۳۸۵) ص ۱۲۰
- [12] Morimoto N., "Nomenclature of Pyroxenes", The Canadian Mineralogist 27 (1989) 143-156.
- [13] Leake B.E., Wolley A. R., Arps C. E. S., Birch W. D., Gilbert M. C., Grice J. D., Hawthorne F. C., Kato A., Kisch H. J., Krivovichev V. G., Linthout K., Laird J., Mandarino J., Maresch W. V., Nickel E. H., Rock N. M. S., Schumacher J.C., Smith D. C., Stephenson N. C. N., Ungaretti L., Whittaker E. J. W., Youzhi G. "Nomenclature of Amphiboles", Report of the subcommittee on Amphiboles of the International Mineralogical Association commission on new minerals and mineral names , European Journal of Mineralogy 9 (1997) 623-651.
- [14] Deer W.A, Howie R.A., Zussman J., "An Introduction to the rock forming minerals", London, Longman (1991) 528.
- [15] Guidotti S., "Micas in metamorphic rocks", Mineralogical Society of America, Reviews in Mineralogy 13 (1984) 357-467.
- [16] Winchester J.A., Floyd P.A, "Geochemical discrimination of different magma series and their differentiation products using immobile elements". Chemistry and Geology 20 (1977) 325-343.
- [17] Irvine T. N., Baragar W.R. A, "A guide to the classification of the common volcanic rocks", Canadian Journal of Earth Science 8 (1971) 235 – 458.
- [18] Pearce J A, Harris N B W, Tindie A G, "Trace element discrimination diagrams for the tectonic interpretation of granitic rocks", Journal of Petrology 25 (1984) 956-983.
- [19] Muller D., Rock N.M.S., Groves D. I., "Geochemical discrimination between shoshonitic and potassic volcanic rocks from different tectonic

- [32] Reichow M.K., Saunders A.D., White R.V., Al MUkhamedov A.I., "Geochemistry and Petrogenesis of Basalts from the West Siberian Basin: an extention of the Permo-Triassic Siberian Traps", Russia, Lithos, 79 (2004) 425-452.
- [۳۳] ترابی ق. شیردشت زاده ن., "سنگ آتشفسنای ائوسن شمال غرب اوردیب (شمال شرق استان اصفهان)", مجله‌ی بلورشناسی و کانی‌شناسی ایران، سال ۱۷، شماره‌ی ۴ (۱۳۸۸) ۵۱۹ - ۵۳۴.
- rocks, the role of titanites", Chemical Geology, 85 (1990) 1-18.
- [30] Saunders A.D., Tarnay J., Weaver S.D., "Transverse geochemical variations across the Antarctic Peninsula, implications for the genesis of calc-alkaline magmas", Earth and Planetary Science Letters, 6 (1980) 344-360.
- [31] Dehghani G.A., Makris J, "The gravity field and crustal structure of Iran", Geological Survey of Iran, 51 (1983) 51-68.